

مطالعه تجربی جهت اضافه کردن سطوح زبر در قسمت کف خودرو و مقایسه ضرایب آیرودینامیکی

کورش رایزن^۱، احمد کشاورزی^{۲،*}

* نویسنده مسئول: keshavarzi@iaukhsh.ac.ir

واژه‌های کلیدی

مطالعه تجربی، المان‌های اضافی، ابعاد
بهینه، سطح زبر

۹۴/۱۱/۱۷	تاریخ ارسال
۹۵/۰۶/۰۶	تاریخ بازنگری
۹۵/۰۷/۱۹	تاریخ پذیرش

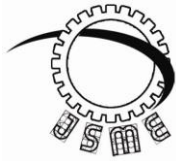
چکیده

پس از اختراع خودرو، بشر بزودی به رابطه میان مقاومت هوا و حرکت اتومبیل پی برد. به مرور زمان با بهبود عملکرد خودروها از جهات مختلف، بهبود آیرودینامیکی نیز به مسائله‌ای اساسی تبدیل شد. پژوهشگران دریافتند که توجه به آیرودینامیک نه تنها برای دستیابی به سرعت‌های بالاتر، بلکه به منظور کاهش مصرف سوخت و ایجاد پایداری مناسب در خودرو، امری ضروری است. در این مقاله اثر زبری سطح در چند نقطه زیرین خودرو بررسی می‌گردد. روش کار بصورتی است که در دو ناحیه زیر خودرو یعنی بعد از چرخ‌های جلو و بعد از چرخ‌های عقب خودرو که بیشترین احتمال جدایش جریان وجود دارد و جریان در حال ترک بدنه خودرو می‌باشد، صفحات زبر چسبانده شده و اثرات این سطوح زبر بر نیروی پسا و برآ در آزمایشگاه تست توبل باد بررسی می‌گردد. نتایج بدست آمده نشان داد که از سرعت 15 m/s تا 35 m/s نیروی پسا حدود ۶ درصد کاهش یافت.

^۱- دانشجوی کارشناسی ارشد، گروه مهندسی مکانیک، واحد نجف آباد، دانشگاه آزاد اسلامی، اصفهان، ایران

^۲- استادیار، گروه مهندسی مکانیک، واحد نجف آباد، دانشگاه آزاد اسلامی، اصفهان، ایران

^۳- استادیار، باشگاه پژوهشگران جوان و نخبگان، واحد خمینی شهر، دانشگاه آزاد اسلامی، اصفهان، ایران



Journal of
Solid Mechanics
in Engineering

Journal of
Solid Mechanics in Engineering

<http://jsme.iaukhsh.ac.ir>



Experimental Study for Addition Rough Surfaces on a Vehicle Floor Body and Comparison of Aerodynamics Coefficient

Koorosh Rayzan¹, Keshavarzi Ahmad^{2-3,*}

* Corresponding Author: keshavarzi @iaukhsh.ac.ir

Abstract:

After the invention of the automobile, people soon realized the relationship between air resistance and the movement of cars. Over time, the improved performance of the cars from different directions, aerodynamically improvement also became the fundamental question. The researchers found that attention to aerodynamics not only achieve higher speeds, but also appropriate to reduce fuel consumption and vehicle stability. This article will examine the effect of surface roughness underside of the vehicle at some points. In this method procedure we study on two zones which have maximum probability of separation flow. These zones find on rear of wheels on floor of vehicle that air flow leaves the automobile that rough sheets was attached And the results of these rough sheets compare with case of drag and lift test in wind tunnel. Results show that between speeds 15m/s to 35m/s drag force decreases about 6 percent.

Key words:

Experimental Studies,
Additional Elements,
Optimum Dimensions,
Rough Surface.

1- MSc Student, Department of Mechanical Engineering, Najafabad Branch, Islamic Azad University, Isfahan, Iran
2- Assistant Prof., Department of Mechanical Engineering, Najafabad Branch, Islamic Azad University, Isfahan, Iran
3- Assistant Prof., Young Researchers and Elite Club, Khomeinishahr Branch, Islamic Azad University, Khomeinishahr, Iran

۱- مقدمه

یک دهه مصرف سوخت خودروها به کمتر از نصف دهه پیشین رسیده است و در عین حال کارایی موتورها و بهینه شدن آنها به همراه اصلاحات طراحی بدن خودرو، انقلاب عظیمی در زمینه ساخت آنها ایجاد کرده و این دو مبحث به صورت همراستا در حال بهبود و گسترش می‌باشد.

۱-۱- موردی بر پژوهش‌های گذشته

در زمینه آیروдинامیک خودرو تحقیقات متفاوت و متعددی انجام شده است که بیشترین و معترض‌ترین آن‌ها در خارج از کشور صورت گرفته است. امروزه در کشورهای پیشرفته شاخه‌های مستقلی مانند آئروдинامیک خودرو و آئروдинامیک پیمایه‌های نزدیک به سطح زمین به وجود آمده است. در زیر به تعدادی از این تحقیقات اشاره می‌گردد:

پتوف^۱ [۱] در سال ۱۹۸۲ با استفاده از دو دیفیوزر با دو نسبت طولی متفاوت، کاهش ضرایب برآ و پسا را بر روی یک مدل خودرو به نحو مطلوبی نشان داد.

هوکو^۲ [۲] با ارجاع به پتوف در مرجع [۱] با استفاده از دو دیفیوزر با دو نسبت طولی متفاوت کاهش ضرایب برآ و پسا را به نحو مطلوبی نشان داد. هوکو برای بهبود و بهینه‌سازی آئروдинامیک خودروها دو روش را پیشنهاد کرد. روش اول با طراحی یک شکل بدن کم پسا آغاز می‌شود که غالباً یک بدن بدون چرخ و کمان چرخ می‌باشد. سپس ملاحظات حرکت خودروها، مثلاً اضافه شدن چرخ‌ها و سایر موارد اعمال می‌شود. در روش دوم که به بهینه‌سازی جزء موسوم است، یک بدن پایه در نظر گرفته می‌شود (مثل بدن یک خودروی رایج) آنگاه اجزای مختلف با توجه به ملاحظات آئروдинامیکی، اصلاح می‌شود. روش دوم در بسیاری از موارد منجر به تغییر در پلت فرم خودرو نمی‌گردد و به همین دلیل، از نظر صنعتی با صرفه اقتصادی بالایی در تولید انبوهر همراه است. تاکید پژوهش حاضر نیز به بررسی و بهبود جریان هوای

پس از اختراج خودرو، بشر بزودی به رابطه میان مقاومت هوا و حرکت اتومبیل پی برد. به مرور زمان با بهبود عملکرد خودروها از جهات مختلف، بهبود آئرودينامیکی نیز به مسئله‌ای اساسی تبدیل شد. پژوهشگران دریافتند که توجه به آئرودينامیک نه تنها برای دستیابی به سرعت‌های بالاتر، بلکه به منظور کاهش مصرف سوخت و ایجاد پایداری مناسب در خودرو، امری ضروری است. البته نباید از این نکته غافل شد که طراحان هواپیما و کشتی از منابع الهام بهتری برخوردار بودند، زیرا نسخه‌های اصلی آنچه که می‌خواستند طراحی کنند یعنی ماهی‌ها و پرنده‌گان را در طبیعت می‌یافتد و برای اتومبیل چنین نسخه طبیعی وجود نداشت. بنابراین طراحان اتومبیل سعی کردند که از شکل‌های مورد استفاده در طراحی هواپیماها و کشتی‌ها استفاده کنند. به زودی مشخص شد که این روش نادرستی است و تنها هنگامی که پژوهشگران و طراحان، این گوهرهای گمراه کننده را کنار گذاشتند، آئرودينامیک به دانشی سودمند در طراحی اتومبیل تبدیل شد.

دلیل دیگر شکست‌های اولیه پیاپی آئرودينامیک در طراحی اتومبیل این بود که اتومبیل‌های اولیه بسیار کند حرکت می‌کردند و برای جاده‌های بد و ناهموار آن زمان، طراحی یک اتومبیل با بدن بادشکن بسیار مضمون نظر می‌رسید. در واقع حفاظت از سرنشیان اتومبیل در مقابل باد، گل و لای و باران با استفاده از طرح‌های سنتی کالسکه‌های اسپی به خوبی محقق می‌شد. بعد از این دیدگاه که بدن‌های خط جریانی^۳، برای اهدافی خاص مناسبت‌نیست، بهره‌گیری از دانش آئرودينامیک را در جهت اقتصادی‌تر شدن اتومبیل‌ها به تعویق انداخت.

تلاش‌های محققین در زمینه بهبود آئرودينامیک خودرو باعث شده که آرامش سرنشیان و ایمنی آن‌ها به همراه موارد بهینه‌سازی مصرف سوخت خودرو به جایی برسد که در طول

² Potthoff
³ Hucho

¹ -Streamlined.

بررسی نمودند. مدل‌های توبولانسی در این پژوهش توسط نرم افزار Cosmos بررسی شد.

کوپر^۳ [۸] در سال ۲۰۰۰ در یک بررسی تجربی و با استفاده از یک دیفیوزر در مقابل اثر زمین و تغییر فاصله دیفیوزر تا سطح زمین، رسیدن به ماکریم نیروی روبرو به پایین را برای دیفیوزرهای با اشکال مختلف بررسی نمود.

دویل^۴ و همکاران [۹] در سال ۲۰۰۱ به مطالعه تجربی توزیع فشار روی سطوح مدل‌هایی از خودرو پرداختند. آن‌ها از مایع مخصوصی استفاده نمودند که در برابر فشارهای مختلف رنگ‌های مختلفی منعکس می‌کرد. با مالیدن این مایع بر روی سطح مورد نظر که از مواد پلیمری خاصی ساخته می‌شود، طیف پیوسته‌ای از فشار در نقاط مختلف سطح بدست می‌آید. اولین بار کاوندی در سال ۱۹۹۰ از این روش استفاده نمود.

لانگنکر^۵ و بدیه [۱۰] در سال ۲۰۰۱ یک خودروی مسابقه‌ای SAE را مورد مطالعه و بررسی قرار دادند. آزمون‌های جاده و همچنین، قطعات افزوده شده برای بهبود نیروهای برآ منفی و پسا مورد مطالعه و مقایسه قرار گرفتند.

کاپادیا^۶ و همکاران [۱۱] در سال ۲۰۰۳ در یک تحقیق عددی پیرامون مدل پهن پیکر احمد رفتار گردابه‌های ناشی از جدایش جریان را شبیه‌سازی کرد.

ماهون^۷ و همکاران [۱۲] در سال ۲۰۰۴ به بررسی تجربی نیروی برآی منفی و همچنین پسا روی یک مدل Bluff Body مجهز به دیفیوزر پرداختند و به وسیله آشکارسازی‌های جریان، گردابه‌های تشکیل شده را بررسی نمودند.

روی خودرو از طریق کاهش برآ و بدون تغییر در پلت فرم خودرو می‌باشد. در ایران فعالیت‌های اندکی در این زمینه صورت گرفته است که بخش اعظم آن نیز مطالعات عددی و محاسباتی می‌باشد.

کریمیان و محجوب در سال ۱۳۷۸ [۳] جریان حول خودرو پیکان را با استفاده از یک نرم افزار دینامیک سیالات عددی، به صورت دو بعدی مدل‌سازی نمودند. در این پژوهش، آن‌ها از یک مدل توربولانسی رایج استفاده نمودند.

احمد و همکاران [۴] در سال ۱۹۸۴ با استفاده از تحلیل جریان حول یک جسم پهن پیکر به نتایج خوبی در زمینه نقاط برخورد و نقاط جدایش جریان در هندسه وزوایای مختلف مدل دست یافتند که قابل تعیین به خودروها می‌باشد و بعدها تحقیقات عددی و تجربی بسیاری با استفاده از این مدل که به احمد بلاف بادی^۱ معروف شد، صورت پذیرفت.

فرانک و همکاران [۵] در زمینه شبیه‌سازی عددی احمد بلاف بادی با زوایای ۰ تا ۴۰ درجه تحقیقات متعددی انجام دادند.

کوگاتی^۲ [۶] در سال ۱۹۸۶، به مطالعه تجربی گردابه‌های پشت خودرو پرداخت و از وسیله‌ای به نام Seven-Hole Probe استفاده نمود. این وسیله دارای سطحی دایره‌ای شامل هفت حسگر که یکی در وسط و عمود بر جریان و مابقی با زاویه ۳۰ درجه نسبت به جریان بوده و بردار سرعت و مقدار فشار را در نقاط مختلف اندازه‌گیری می‌کند.

غازی و همکاران [۷] در سال ۱۳۷۸، جریان حول یک مدل جیپ شرکت پارس خودرو را به صورت دو بعدی و با استفاده از روش‌های عددی توسط نرم افزارهای تجاری

^۳ Cooper

^۴ Duell

^۵ Longnecker

^۶ kapadia

^۷ Mahon

^۱ Ahmed bluff body

^۲ Cogotti

قرار دادند و نشان داد که با کنترل جریان در قسمت عقب یک خودرو تا ۱۷٪ نیروی پسا کاهش می‌یابد که این معادل کم شدن مصرف سوخت و به تبع آن کاهش آلایندگی و هزینه‌های حمل و نقل می‌باشد.

جان فرانسیس^۳ و همکاران^[۱۸] در سال ۲۰۰۸ در یک مطالعه تجربی با استفاده از نصب قطعاتی (مثل Flap) بر روی احمد بلاف بادی^۴ در صد کاهش برآ و پسا را مورد بررسی و تجزیه و تحلیل قرار دادند.

محمد حسن شجاعی فرد، کورش گودرزی و رسول خوش نیت^[۱۹]، در سال ۱۳۸۷ اثر رینگ و تایر را بر نیروهای آئرودینامیکی چرخ به صورت سه بعدی با استفاده از نرم افزارهای تجاری و یک مدل توربولانسی رایج مورد بررسی قرار دادند. تاثیر چرخ‌ها بر روی ضرایب آئرودینامیکی خورو قابل ملاحظه و بسیار زیاد است. همچنین به دلیل نامتقارن بودن چرخ، نیرو و ممان منحرف کننده بر روی چرخ بوجود می‌آید و با توجه به این که معمولاً فرمان دهی خودرو از طریق دو چرخ جلو صورت می‌گیرد چرخ‌ها در فرمان پذیری خودرو نیز بسیار موثر خواهند بود. در این مقاله با استفاده از روش عددی حجم کنترل، به مدل سازی جریان پیرامون یک چرخ و ضرایب آئرودینامیکی آن پرداخته شده است. جهت مدل سازی جریان مغشوش از مدل توربولانسی SST استفاده شده است. چرخ مورد مطالعه در این مقاله دارای تایر 45/240 R17.5 که از بزرگترین سایزهای قابل انتخاب تایرهای رادیال برای خودروهای شخصی معمولی می‌باشد، است. همچنین رینگ آلمینیومی آن از ساده ترین هندسه‌های ممکن انتخاب شده است و ساده‌سازی‌هایی هم بر روی آن انجام گرفته است که نمی‌تواند تغییر زیادی در خواص آئرودینامیکی ایجاد کند. این تحلیل در حالت پایدار برای چندین زاویه حمله مختلف انجام

بهشتی و کریمیان^[۱۳] در سال ۱۳۸۳، بررسی عددی جریان حول خودروی پراید را مد نظر قرار دادند، در این پژوهه سعی شده است تا با استفاده از روش‌های عددی، جریان سیال بر روی بدنه خودروی پراید به صورت دو بعدی و سپس به صورت سه بعدی حل شود. برای انجام این کار با استفاده از نرم افزار fluent، معادلات حاکم بر جریان سیال به همراه مدل استاندارد با استفاده از شرایط مرزی مناسب حل گردیده‌اند. با مطالعه نتایج حاصل از این تحقیق و مشاهده خطوط جریان، گردابهای ایجاد شده در اطراف اتمیل و توزیع فشار، می‌توان منطقه‌هایی را که باعث افزایش پسا می‌گردند، مشخص کرده و با توجه به آن‌ها، روش‌هایی را برای کاهش پسا ارائه نمود و پیشنهادهایی از جمله اصلاح شکل جلوی خودرو و سپر جلوی خودرو برای کاهش پسا ارائه نمودند.

توكلی و مانی^[۱۴]. در سال ۱۳۸۳ یک مدل از وانت مزدا را در تونل بود مورد بررسی قرار دادند و پیشنهادهایی برای بهبود آئرودینامیک آن ارائه کردند، در تحقیق آن‌ها از مدل با مقیاس ۱/۱۰ استفاده شده بود و به کمک روابط تصحیح انسداد، نتایج حاصل را اصلاح نمودند.

شجاعی‌فرد و همکاران^[۱۵]، در سال ۱۳۸۵ تاثیر کاور بر خودرو نیسان پیکاپ بر روی ضریب درگ را بررسی کردند.

استراچان^۱ و همکاران^[۱۶] در سال ۲۰۰۷ در یک بررسی تجربی، جریان حول احمد بادی را در مقابل اثر زمین متحرک مورد آزمون قرار دادند، همچنین ساختار گردابهای نیروی برآ و پسا را بررسی نمودند.

رومی^۲ و همکاران^[۱۷] در سال ۲۰۰۸ در یک بررسی توسط متدهای عددی با کنترل جدایش بر روی قسمت عقب احمد بادی در حالت‌های مختلف، کاهش پسا را مورد بررسی

^۳ Jean-Francios

^۴ Ahmed Bluff Body

^۱ Strachan

^۲ Roumeas

شده تا تاثیر تایر و رینگ بر روی نیروهای لیفت، درگ و نیروی انحرافی بدست آید.

۲-۲- بازچسب

گاهی اوقات، ممکن است که جریان جدا شده دوباره به بدن بچسبد. در این حالت گفته می شود که جریان بازچسب شده است.

۳- نیروهای آبرو دینامیکی

نیروی پسا، برآ، نیروها و گشتاورهای جانبی را می توان مهمترین عامل بحث های تحلیلی در زمینه آبرو دینامیک دانست. در زیر بصورت مختصر به این عوامل پرداخته می شود.

۱-۳- نیروی پسا

مهمنترین عامل آبرو دینامیکی که در طراحی اتومبیل های معمولی باید مورد توجه قرار گیرد، نیروی پسا است. قسمتی از نیروی مقاوم کل در برابر حرکت یک اتومبیل، ناشی از مقاومت چرخشی تایرهای و بقیه آن به علت پسای آبرو دینامیکی است.

معمولًا برای مقایسه پسای تولیدی توسط شکل های بدن مختلف — بدون توجه به ابعاد و سرعت حرکت آنها در هوای از ضریب بی بعدی به نام ضریب پسا (CD) استفاده می کنند که عمدتاً به شکل بدن بستگی دارد. علاوه بر این ضریب، نیروی پسا به مساحت جلویی^۳ اتومبیل، چگالی هوای و محدود سرعت اتومبیل نسبت به هوای نیز بستگی دارد. مساحت جلویی، برابر مساحت تصویر اتومبیل بر صفحه ای قائم بر محور طولی اتومبیل و در جلوی آن می باشد. در اتومبیل های امروزی مساحت جلویی در حدود ۸۰٪ حاصل ضرب ارتفاع و عرض اتومبیل می باشد.

۲- بدن های خط جریانی^۱ و جریان چسبیده^۲

اصطلاح «بدنه خط جریانی»، به صورت غیرعلمی به بدن های گفته می شود که دارای سطوح منحنی باشد. در تعریف علمی تر، بدن خط جریانی بدن های است که جریان هوای گذرنده از اطراف آن از شکل کانتورهای بدن پیروی کند. در این حالت به جریان، «جریان چسبیده» می گوییم. اگرچه این تعریف برای بدن های خط جریانی، یک تعریف پذیرفته شده جهانی نیست، اما برای بررسی های کنونی ما ساده و قابل استفاده است.

۱-۱- خطوط جریان

در هنگام حرکت خودرو، خطوط جریان هوای پروفیل بدن را دنبال می کنند، اما هر گونه تغییر شکل ناگهانی مثل زوایای تیز باعث می شود تا خطوط جریان از بدن خودرو منحرف شوند. فضای بین خطوط جریانی که پروفیل بدن را دنبال می کنند و خطوط جریان در ارتفاعی بالاتر از پروفیل بدن که تحت تاثیر شکل بدن قرار نمی گیرند را می توان همانند یک ونتوری در نظر گرفت. هوایی که به خودرو نزدیک می شود، دارای فشار جو است و با سرعتی برابر با سرعت خودرو حرکت می کند. با نزدیک شدن این هوای به خودرو، شتاب آن افزایش می یابد (قانون پیوستگی). در روی سقف خودرو، سطح مقطع ونتوری به کمترین مقدار خود می رسد که نتیجه آن افزایش سرعت هوای مقدار حداقل خود و کاهش فشار تا مقدار حداقل خود است. پس از عبور جریان هوای از این قسمت، سرعت هوای دوباره کاهش می یابد تا این که مجدداً سرعت آن برابر سرعت خودرو و فشار آن به فشار جو برسد.

³ - Frontal area.

¹ - Streamlined Bodies.

² - attached flow.

نیز مد نظر قرار گیرد که برای فراهم نمودن این شرایط، آزمایشگاه بسیار پیشرفته‌ای نیاز است که متناسفانه تعداد این آزمایشگاهها در دنیا انگشت شمار می‌باشد.

۴- بررسی تجربی آیرودینامیک یک مدل خودرو

برای انجام آزمون‌ها از مدل خودرو مشابه نمونه تجاری رنجور آیونیک می‌باشد، استفاده شده است. مدل از جنس پلاستیک مقاوم و سبک با مقیاس ۱/۱۶ ساخته شده است که با انجام تغییراتی در کف مدل، امکان نصب چرخ‌ها به صورت ثابت و همچنین میله تعادل در قسمت جانبی مدل برای اتصال به دستگاه بالанс فراهم شده است.

۴-۱- بررسی اثرات سطوح زیر در کف خودرو

در این مرحله می‌خواهیم اثر زیری سطح را در چند نقطه زیرین خودرو بررسی نماییم. آقای ماسارو^۴ و همکاران [۲۰] در سال ۲۰۰۴ تحقیقات گسترده‌ای انجام دادند و قسمت‌هایی به بالای سقف خودرو اضافه نمودند که باعث ایجاد گردابه‌هایی می‌شوند و این گردابه‌ها به کمک آیرودینامیک خودرو می‌آیند و باعث کاهش ناحیه کم فشار انتهایی خودرو شده که نتیجه آن کاهش نیروی پسا می‌باشد. در سال ۲۰۰۶ نیتش^۵ و پراون در سطح بالای خودرو در نقطه انتهایی تر ک جریان از جسم پهن پیکر احمد تحقیقاتی کردند و موفق به کنترل جدایش در ناحیه آشفته شدند [۲۱].

در این تحقیق مطابق شکل (۱) در دوناحیه زیر خودرو که بیشترین احتمال تشکیل جدایش وجود دارد، یعنی بعد از چرخ جلو و بعد از چرخ عقب خودرو که جریان در حال ترک بدنه خودرو می‌باشد، صفحات زیری با زیری P60 چسبانده و اثرات این سطوح را با حالت صاف در سرعت‌های ۵ تا ۳۵ متر بر ثانیه مقایسه کرده، نتایج نادری بدست می‌آید.

از رابطه (۱) نتیجه می‌شود که مقدار نیروی پسا، علاوه بر ضریب پسا، به مساحت جلویی اتومبیل نیز بستگی دارد. بنابراین، کم بودن ضریب پسا یک اتومبیل، ضامن کم بودن نیروی پسا آن نیست.

$$\text{رابطه (۱)} : D = \frac{1}{2} \rho V^2 A C_D$$

۳-۲- نیروی برآ

پژوهش بر روی آیرودینامیک اتومبیل‌ها در ابتدا تنها بر روی مسئله کاهش پس‌تمرکز بود، اما به زودی مشخص شد که نیروی برآ نیز در عملکرد اتومبیل‌ها مؤثر است. نیروی برآ با اثرات القایی، بر روی میزان نیروی پسا اثر می‌گذارد. از آن مهمتر، با کاهش برآ و یا حتی تولید نیروی برآی منفی (نیروی رو به پایین)، می‌توان بهبودهای قابل توجهی در پایداری و چسبندگی اتومبیل ایجاد کرد. بهبود چسبندگی به این روش - به ویژه در اتومبیل‌های مسابقه‌ای - بسیار حائز اهمیت است.

ضریب نیروی برآی آیرودینامیکی، مقایسه از اختلاف فشار ایجاد شده در سطوح بالایی و پایینی بدنه خودروی در حال حرکت است. در این حال، بسته به شکل بدنه خودرو، هم برآی رو به بالا (برآی مثبت) و هم برآی رو به پایین (برآی منفی) می‌تواند ایجاد شود. به دلیل کاهش چسبندگی تایرها به زمین برآی رو به بالا یک پارامتر غیر مطلوب محاسبه می‌شود نیروی برآ از رابطه (۲) بدست می‌آید و

ضریب برآ نامیده می‌شود.

$$\text{رابطه (۲)} : L = \frac{1}{2} \rho V^2 A C_L$$

۳-۳- نیروی جانبی و گشتاورهای وارد بر خودرو

تاکنون، نیروهای پسا و برآی وارد بر اتومبیل بررسی گردید. اما هنگامی که باد جانبی وجود دارد، باید نیروی جانبی (S) و سه گشتاور پیچ^۱ (M)، رول^۲ (R) و یا و^۳ (Y)

^۱ - Pitching Moment.

² - Rolling Moment.

³ - Yawing Moment.

⁴ Masaru Koike

⁵ Nitsche W. & Brunn A.



شکل (۲) تونل باد PLINT TE44/C



شکل (۳) نمایشگرهای اندازه گیری نیروها

شکل (۴) نحوه اتصال میله تعادل به مرکز ثقل مدل را نشان می‌دهد. این میله به دستگاه بالانس متصل شده و دستگاه بالانس مولفه‌های نیرو و گشتاور را اندازه گیری می‌نماید. شکل (۵) نمایی از مدل بدون کمان چرخ در اتاقک آزمون را نشان می‌دهد. صفحه زیرین جهت شبیه سازی اثرات زمین در فاصله ای مساوی با زمانی که مدل همراه با کمان چرخ مونتاژ می‌گردد قرار دارد.

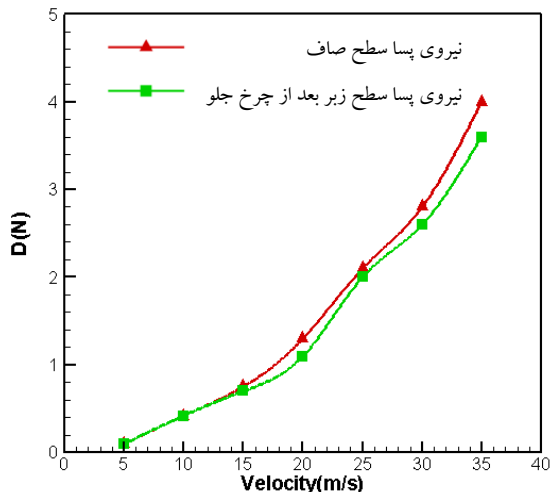
نتایج را در جداول بصورت دو به دو مقایسه کرده و بهبود ضرایب موثر آیرودینامیکی مشاهده می‌شود. البته با چندین تست متفاوت عرض بهینه برای سطح زیر ناحیه پشت چرخ جلو ۲۰ میلی‌متر و عرض بهینه برای سطح زیر ناحیه پشت چرخ عقب ۲۵ میلی‌متر بدست می‌آید.



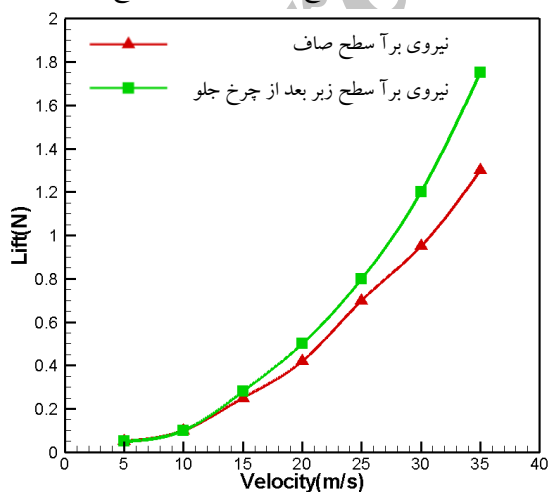
شکل (۱) مدل خودرو با سطوح زیر پشت چرخهای جلو و پشت چرخهای عقب

پس از تحقیقات انجام شده در مورد تونل بادهایی که در داخل کشور موجود می‌باشد با توجه به ملاحظات فنی و شرایط آزمون، تونل باد PLINT TE44/C از نوع مانومتری مورب برای انجام آزمونها در نظر گرفته شد که در شکل (۲) نشان داده شده است. نوع تونل زیر صوت، سرعت پایین و مدار بسته می‌باشد و مقطع آزمون آن دارای ابعاد 46×46 سانتی‌متر است. دستگاه بالانس مورد استفاده در این تونل باد از نوع سه مولفه‌ای است که به یک نمایشگر دیجیتالی برای نمایش نیروها مجهز است. این دستگاه دارای سه استرین گیج (Strain Gage) از آلیاژ آلومینیوم می‌باشد که هر کدام جداگانه به پردازشگر متصل می‌گردد. قابلیت تنظیم مدل در زوایای حمله مختلف از صفر تا 360° درجه و همچنین محاسبه نیروهای برآ و پسا و ممان پیچشی از امکانات این دستگاه است. شکل (۳) دستگاه بالانس را نمایش می‌دهد.

شکل(۶) تا شکل(۱۵) مقایسه نیروی پسا و برآ و ضریب پسا و ضریب برآ، برای سطح زبر بعد از چرخ جلو و عقب و حالتی که سطح صاف است را بیان می کند. در پایان هرسری از آزمایش ها میزان انحراف معیار داده های بدست آمده از تکرار تست ها در شرایط یکسان برای سرعتهای مختلف آمده است. برای هر سرعت ۴ بار نیروی پسا اندازه گیری شده است که نتایج از تکرار پذیری خوبی برخوردار هستند و انحراف معیار نتایج کمتر از ۱درصد است. نتایج تکرار پذیری و قطعیت نتایج جهت حصول اطمینان از نتایج آزمایش ترسیم گردیده است که مقدار قابل قبولی جهت حصول اطمینان از صحت نتایج آزمایش ها می باشد. در ادامه نتایج آزمایش ها آمده است.



شکل(۶) مقایسه پسای سطح زبر و صاف بعد از چرخ های جلو



شکل(۷) مقایسه برآی سطح زبر و صاف بعد از چرخ های جلو



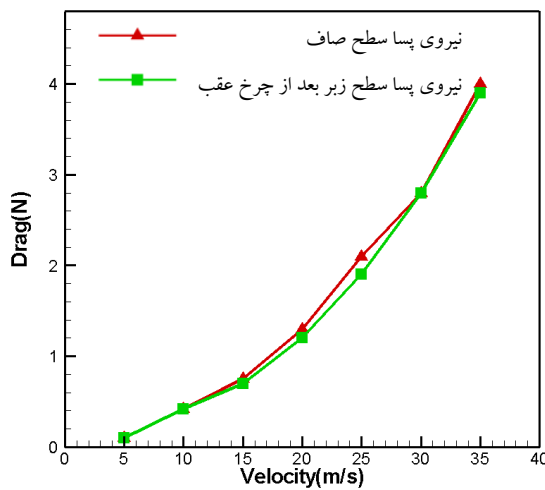
شکل(۴) نحوه اتصال میله تعادل به مرکز ثقل مدل



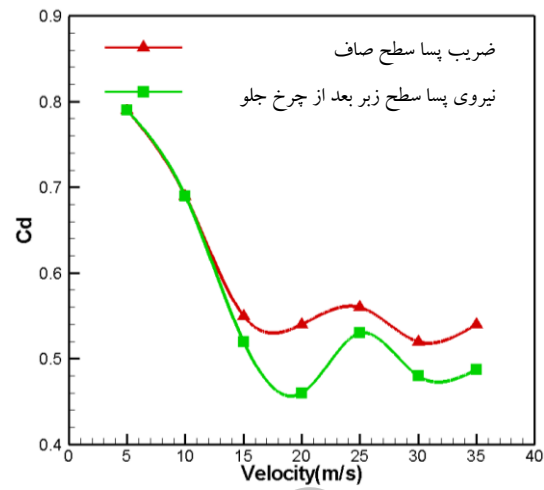
شکل(۵) مدل پایه بدون چرخ در اتاقک آزمون

هو تو سط یک فن با حداقل توان ۱۵ کیلو وات در سیستم به حرکت در می آید و سرعت جریان در هر لحظه تو سط یک پیوت تیوب که قبل از مدل در ابتدای اتاقک آزمون قرار دارد، اندازه گیری می شود.

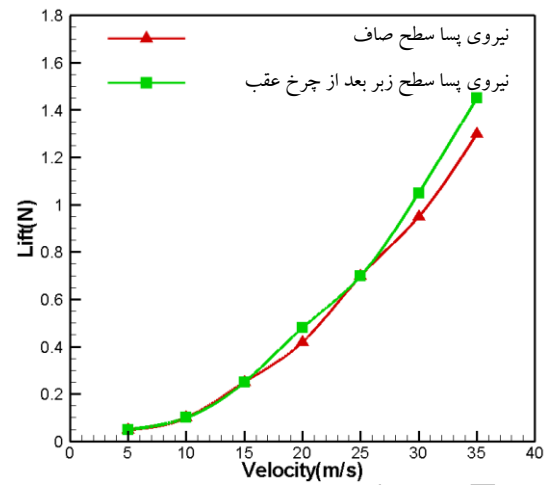
پس از انجام آزمایشات در تونل باد و چسباندن سطوح زیر در ناحیه پشت چرخهای جلو و پشت چرخهای عقب مدل، نتایج منحصر به فردی حاصل می شود و نتایج با حالت بدون سطوح زبر مقایسه شده و در نمودارها نمایش داده می شود. این کاهش ضریب پسا و نیروی پسا را می توان به این امر منصوب کرد که سطوح زبر مانع از گسترش رژیم آشفته جریان حاصل از حرکت چرخ ها به ناحیه زیر خودرو شده و این امر جریان عبوری از کف خودرو را کمتر چهار اغتشاش می کند. در نتیجه نیروی پسا و ضریب پسا کاهش یافته ولی به نیروی برآ و ضریب آن زیاد می شود که این افزایش برآ را با تغییرات اندکی در شکل خودرو با اضافه کردن المان هایی چون اسپویلر می توان کاهش داد.



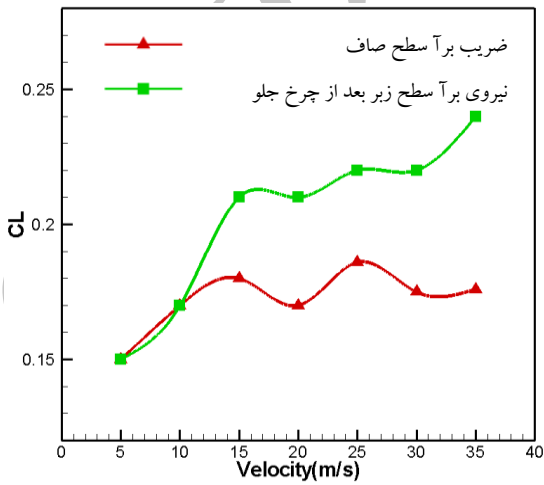
شکل (۱۱) مقایسه پسا سطح زیر و صاف بعد از چرخ های عقب



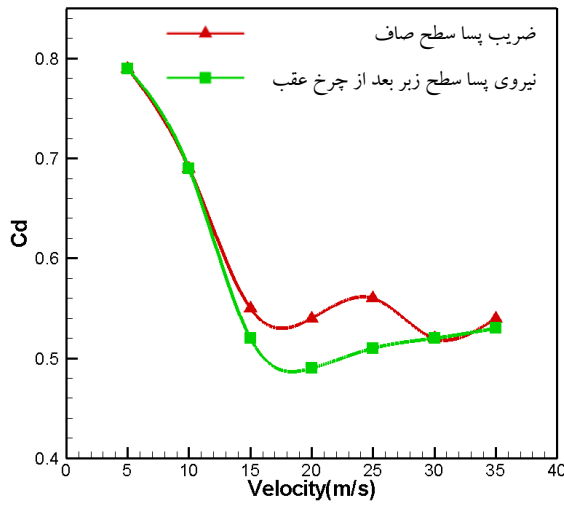
شکل (۸) مقایسه ضریب پسا سطح زیر و صاف بعد از چرخ های جلو



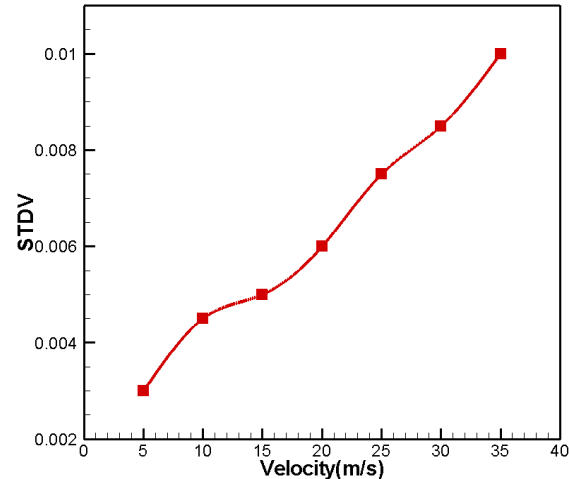
شکل (۱۲) مقایسه برآ سطح زیر و صاف بعد از چرخ های عقب



شکل (۹) مقایسه ضریب برآ سطح زیر و صاف بعد از چرخ های جلو



شکل (۱۳) مقایسه ضریب پسا سطح زیر و صاف بعد از چرخ های عقب



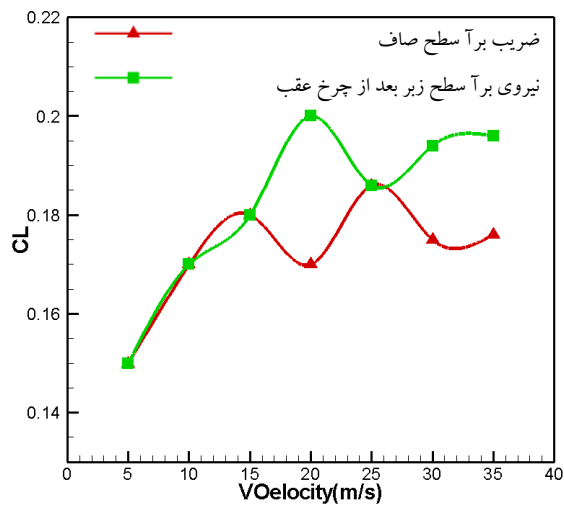
شکل (۱۰) واریانس ۴بار آزمایش سرعتهای مختلف سطح زیر چرخ جلو

بودن این موضوع و اثبات تأثیرات این طرح در کاهش نیروی مقاوم بر بدنه خودرو، در آینده شاهد استفاده از این مطلب در ساخت خودروها خواهیم بود و با تغییرات جریبی به کاهش ۶ درصدی نیروی پسا رسیدیم.

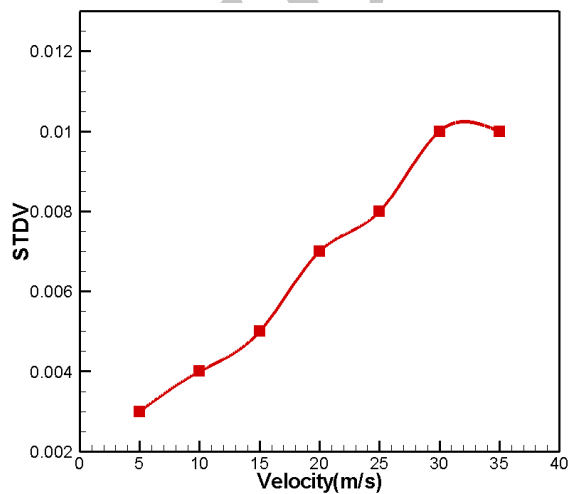
۵-نتایج

در این تحقیق که بر اساس مشاهدات تجربی و تست تولنل باد و مقایسه مدل مبنا با مدلی که تغییرات اساسی در آن انجام گردید، نتایج منحصر بفرد و با ارزشی در اصلاح طراحی آرودینامیک خودرو بدست آمد و با مقایسه نتایج و نمودارها مشاهده گردید که به تغییرات جزئی در روش ساخت این پیمایه‌ها می‌توان نیروی پسا را حدود ۶ درصد کاهش داد و توجه به این امر تأثیرات اساسی در علم ساخت خودرو خواهد گذاشت. با گسترس این بحث در آینده نه چندان دور شاهد این خواهیم بود که توجه به موارد حتی کوچک می‌تواند نتایج با ارزشی در ضمینه کاهش سوخت پیمایه‌ها داشته باشد. این امر به کاهش آلودگی محیط زیست و مصرف بهینه سرمایه‌های خدادادی خواهد انجامید.

نتیجه‌ای که از این تحقیق بدست آمد، توجه به سطوح زیر در نواحی انتهایی کف خودرو و بعد از چرخ‌ها می‌باشد. ناحیه مغشوش ناشی از حرکت چرخها، پایین دست جریان را کمتر تحت تأثیر قرار دهد. این امر باعث کم شدن نیروی پسا و ضریب پسا گردید و افزایش سرعت جریان در ناحیه زیر خودرو را به همراه دارد. در نهایت عامل جدایش جریان در سطح زیرین خودرو به تاخیر افتاده و زیر خودرو رژیم آشفته و مغشوش محدود می‌شود. در نتیجه نیروی پسا کاسته شده، انرژی کمتری صرف حرکت خواهد شد. توجه مضاعف به این امر که هرچه ناحیه مغشوش و کم فشار بعد از خودرو ضعیم‌تر باشد نیروی پسا نیز بیشتر می‌شود و با توجه به نتایج حاصل از این تحقیق، با اضافه نمودن سطوح زیر در ناحیه بعد از چرخهای جلو و عقب، مساحت این ناحیه کم فشار کاسته شده و نیروی کمتری صرف حرکت پیمایه خواهد شد.



شکل (۱۴) مقایسه ضریب برآ سطح زیر و صاف بعد از چرخ‌های عقب



شکل (۱۵) واریانس ۴ بار آزمایش سرعتهای مختلف برای سطح زیر چرخ عقب

با توجه به آزمایش‌ها و نمودارهای بالا این نتیجه حاصل می‌شود که با چسباندن سطوح زیر با عرض‌های متفاوت در پشت چرخ‌های خودرو با روش تست آزمایشگاهی، ابعاد بهینه عرض این سطوح بصورت ۲۰ میلیمتر برای پشت چرخ‌های جلو و ۲۵ میلیمتر برای پشت چرخ‌های عقب می‌باشد. در این متد، این زیری‌ها به عنوان یک سد جلوی گسترش ناحیه مغشوش حاصل از جدایش جریان عمل کرده و مانع گسترش اغتشاش در ناحیه آرام می‌شوند و در نهایت منجر به کاهش نیروی پسا می‌شود. این راهکار باعث بوجود آمدن ناحیه با فشار بالاتر در عقب خودرو شده و در نتیجه از حجم ناحیه کم فشار انتهای خودرو می‌کاهد. با کاهش ناحیه کم فشار دنباله دار انتهایی خودرو، کاهش نیروی پسا و ضریب پسا در این مدل مشاهده می‌شود که با توجه به جدید

مراجع:

[۱۳] کریمیان و بهشتی، تحلیل روش‌های مختلف جهت بهبود آیرودینامیک خودرو، کنفرانس دینامیک شاره، سال ۱۳۸۳.

[۱۴] توکلی م، مانی م، بررسی تجربی آیرودینامیک خودروی وانت مزدا B2000، نهمین کنفرانس دینامیک شاره ها، اسفند ۱۳۸۳.

[۱۵] شجاعی فرد م، گودرزی ک، کشاورزی ا، تاثیر کاور بار خودرو نیسان پیکاپ بر روی ضریب درگ، کنفرانس مهندسی مکانیک، تهران، ۳۰ آذر ۱۳۸۵.

[16] Strachan R. K., Knowles K., Lawson N. J., *The Vortex Structure Behind An Ahmed Reference Model In The Presence Of A Moving Ground Plane*, Exp Fluids, 2007, 42:659–669.

[17] Roumeas M., Gilliéron P. and Kourta A., *Drag Reduction By Flow Separation Control On A Car After Body*, International Journal For Numerical Methods In Fluid Int. J. Numer. Meth. Fluids (2008) Published online in Wiley InterScience (www.interscience.wiley.com). DOI: 10.1002/fld.1930.

[18] Beaudoin J.F., Aider J.E., *Drag And Lift Reduction Of A 3D Bluff Body Using Flaps*, Exp Fluids (2008) 44:491–501.

[۱۹] شجاعی فرد م، گودرزی ک، خوش نیت ر، بررسی اثر ریگ و تایر بر روی نیروهای آیرودینامیکی چرخ، شانزدهمین کنفرانس سالانه مهندسی مکانیک. دانشکده فنی و مهندسی دانشگاه شهید باهنر، ۱۳۸۷.

[20] KOIKE M., NAGAYOSHI T., HAMAMOTO N., *Research on Aerodynamic Drag Reduction by Vortex Generators*, Technical Paper, Mitsubishi Motor Technical Review 2004 No.16.

[21] Brunn A., Nitsche W., *Active control of Turbulent Separated Flows Over Slanted Surfaces*, International Journal of Heat and Fluid Flow 27 (2006) 748–755.

[1] Barnard R.H., *Road Vehicle Aerodynamic Design*, 2nd Edition, Mechaero Publishing, 2001.

[2] Hucho W.H., *Aerodynamics of Road Vehicles*, 4th Edition, SAE, Society of Automotive Engineers Inc Warrendale, Pa,1998.

[۳] کریمیان م ح، محجوب ش، شبیه‌سازی دو بعدی جریان حول خودرو پیکان، هفتمین کنفرانس سالانه مهندسی مکانیک، دانشگاه سیستان و بلوچستان، فروردین ۱۳۷۸.

[4] Ahmed S.R., Ramm R., and Faltin G., *Some salient features of the time averaged ground vehicle wake*, SAE, technical Paper Series 840300, Detroit, 1984.

[5] Franck G., Nigro N., Storti M.A. and Jorge D., *Numerical Simulation Of The Flow Around The Ahmed Veihcle Model*,

[6] Cogotti A, *Car-Wake Imaging Using a Seven-Hole Probe*, SAE Int. Congress and Exposition Detroit, Michigan, PP 43-58 , 1986.

[۷] غازی س، کد کامپیوترا جهت بهینه‌سازی آیرودینامیکی خودرو شرکت پارس خودرو، پایان نامه کارشناسی ارشد مهندسی هوافضا، دانشگاه آزاد اسلامی واحد علوم و تحقیقات ۱۳۷۸.

[8] Cooper, K.R., Syms, J., and Sovran, G., *Selecting Automotive Diffusers to Maximize Underbody Downforce*, SAE Paper 2000-01-0354. 2000.

[9] Duell E., Everstine D., Mehta R., Perry M., *Pressure-Sensitive Paint Technology Applied to Low – Speed Automotive Testeng*, SAE, Paper no. 2001-01-0626.

[10] Longnecker , *Aerodynamic Evaluation On Furmlua SAE Vehicle*, SAE, paper no. 2001- 01-1270.

[11] Sagar Kapadia, Subrata Roy, Ken Wurtzler “*Detached Eddy Simulation Over a Reference Ahmed Car Model*” AIAA-2003-0857.

[12] S. Mahon , X. Zhang and C. Gage "The Evolution of Edge Vortices Underneath a Diffuser Equipped Bluff Body" School of Engineering Sciences,University of Southampton, SO17 1BJ, UK.